

الكتابة عليها من الخلف بالقلم الجاف. ويتعين إحاطة الأشكال بورق كرتون داخل المطروف حتى لا تتعرض للثني أثناء تداولها في البريد.

أشكال الرسائل العلمية

تكون الأشكال - فى الرسائل العلمية - مثل أشكال البحوث المقدمة للنشر، مع أخذ أوجه الاختلاف التالية فى الحسبان:

١ - تكتب عناوين الأشكال (موسطنة) تحت مسافتين double space من الشكل. وعلى مسافة واحدة بين السطور، مع بداية السطر الثانى، إما تحت أول كلمة من عنوان الشكل فى السطر الأول. وإما على بعد ثلاث مسافات (حروف طباعة) من الهامش الأيسر. علماً بأن كلمة Figure تبدأ بمحاذاة الهامش الأيسر للصفحة فى العناوين الطويلة.

٢ - عند اتباع النظام العشرى فى تقسيم أجزاء الرسالة فإن أشكال كل قسم تأخذ أرقاماً متسلسلة خاصة بها، مثل Figure 3.4، و Figure 4.2 ... إلخ.

٣ - يكون مكان كل شكل بعد ذكره لأول مرة - مباشرة - إن اتسعت الصفحة لذلك، أو فى الصفحة التى تليها، ويستمر ترقيم صفحات الأشكال ضمن الترقيم المتسلسل لصفحات الرسالة. ويكون ترتيب الجداول والأشكال - معاً - حسب ترتيب الإشارة إليها فى متن الرسالة.

٤ - توضع الأشكال التى يزيد طول قاعدتها على عرض صفحة الرسالة بطول الصفحة، مع مراعاة أن تكون قاعدتها بمحاذاة الهامش الأيمن الأسمى للصفحة العادية، ويوضع عنوان الشكل أسفل منه، بحيث يمكن قراءته عند إدارة الصفحة ٩٠° فى اتجاه عقرب الساعة.

أمثلة إضافية لنوعيات مختلفة من الأشكال

نعطى - فيما يلى - أمثلة لنوعيات مختلفة من الأشكال كما ظهرت فى دوريات علمية متنوعة.

مثال (٧-٢١): عن دورية Genet. Res., Cambridge

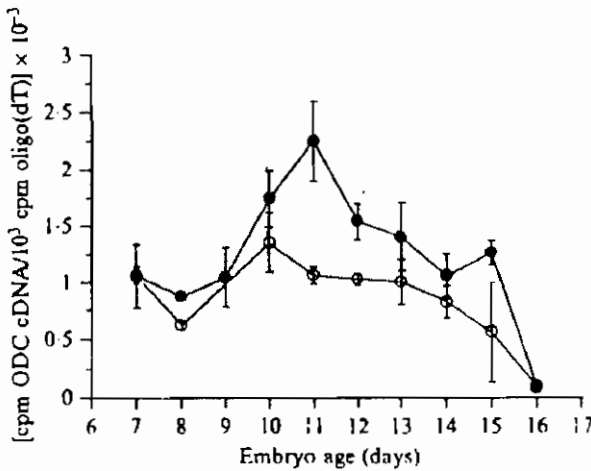


Fig. 2. Variation in ODCase mRNA levels with day of embryogenesis. The results shown are the mean and standard deviations for three determinations of ODCase mRNA levels in GPH6 (●) and GPL6 (○) embryos. The mRNA levels are expressed as ratio of ODC mRNA probe per 10³ counts of oligo(dT) bound (see text for details).

يُوضَّح في هذا المثال الانحراف القياسي - لكل قيمة من قيم العامل غير المستقل - على صورة خط رأسي، كما يلاحظ توضيح رموز مفتاح الشكل ضمن العنوان.

مثال (٧-٢٢): عن دورية Plant Physiology and Biochemistry

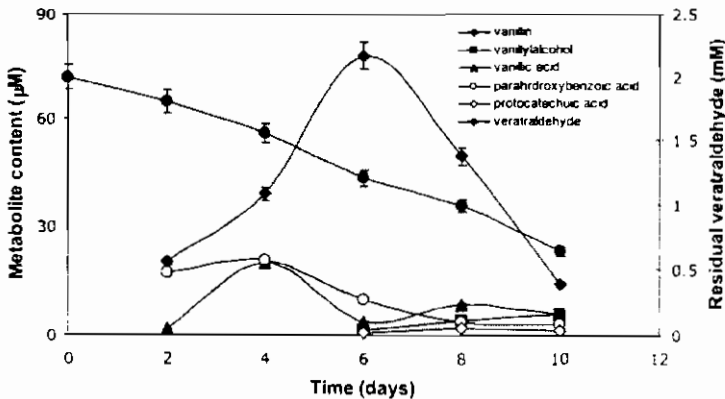


Fig. 5. Biotransformation of veratraldehyde to vanillin and related products in *C. frutescens* root cultures

يلاحظ وجود بيانين لقياسين مختلفين على كل من المحور الرأسى والضلع المقابل له. مع توضيح رموز مفتاح الشكل داخل الصندوق.

مثال (٧-٢٣): عن دورية *British Poultry Science*.

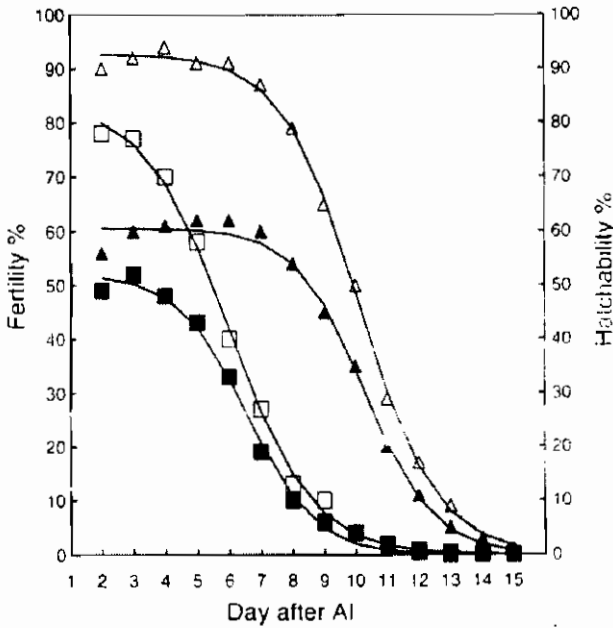


Figure 3. Duration of fertility after single artificial insemination (AI) with pooled Muscovy semen of selected (Δ) and control (\square) Brown Tsaiya lines of G11. Solid lines represent the functions of logistic curves: $y(x) = 92.77/1 + e^{-0.8225(10.126-x)}$ for the selected line and $y(x) = 83.71/1 + e^{-0.7679(5.995-x)}$ for the control line. Duration of hatchability after single AI with pooled Muscovy semen of selected (\blacktriangle) and control (\blacksquare) Brown Tsaiya lines of G11. Solid lines represent the functions of logistic curves $y(x) = 60.62/1 + e^{-0.9261(10.286-x)}$ for the selected line and $y(x) = 52.19/1 + e^{-0.9329(6.548-x)}$ for the control line.

يلاحظ وجود بيانين لقياسين مختلفين على كل من المحور الرأسى والضلع المقابل له. مع توضيح رموز مفتاح الشكل ضمن العنوان الذى يعطى تفاصيل كثيرة تجعل الشكل وحدة قائمة بذاتها يمكن فهمه دونما حاجة إلى الرجوع للمتن.

مثال (٧-٢٤): عن دورية Genet. Res., Cambridge

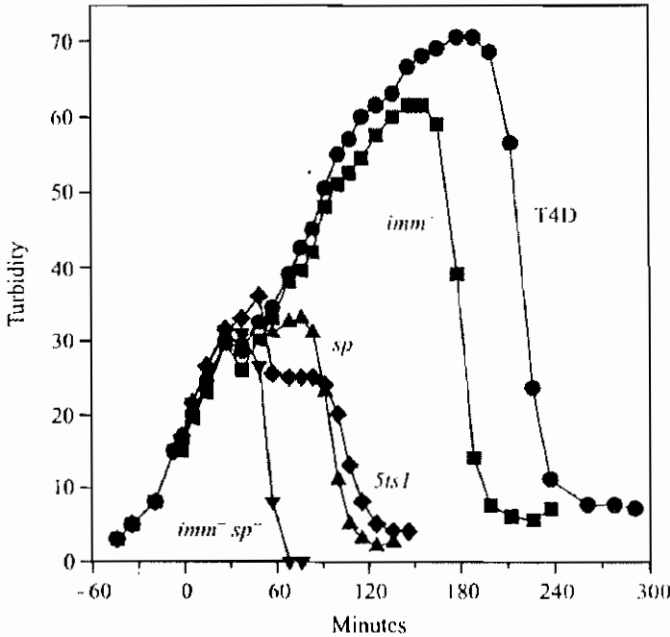


Fig. 1. Phage-mutant lysis profiles at 37 °C. Phages were added to bacterial suspensions when culture turbidity reached 15 (time zero; MOI 0.2). Note that culture turbidity initially rises because of replication of uninfected cells, but then stabilizes or declines for most phages after an initial period of infected-cell lysis (between approximately 30 and 50 min in this figure). Cultures (especially *imm* mutant and wild-type) then inexplicably undergo a period of turbidity rise (which presumably results from the infected cells becoming denser since (i) This turbidity rise is not associated with cell division (Abedon, 1992), (ii) plating for cell viable count following phage addition demonstrates no significant lack of phage infection (unpublished observation) and (iii) the turbidity rise is reversed upon LIN collapse (this figure)). This turbidity rise is then followed by a turbidity decline (LIN collapse) that defines the end of the lysis-inhibited latent period. Curves vary by phage genotype and include: (i) T4D (●), (ii) *imm* mutant (■), (iii) *sp* mutant (▲), (iv) *imm sp* double mutant (▼) and (v) *5ts1* mutant (◆).

لم يترك عنوان الشكل أى تفاصيل تلزم لاستيعاب الشكل دونما حاجة إلى الرجوع

للمتن.

مثال (٧-٢٥): عن دورية .J. Amer. Soc. Hort. Sci.

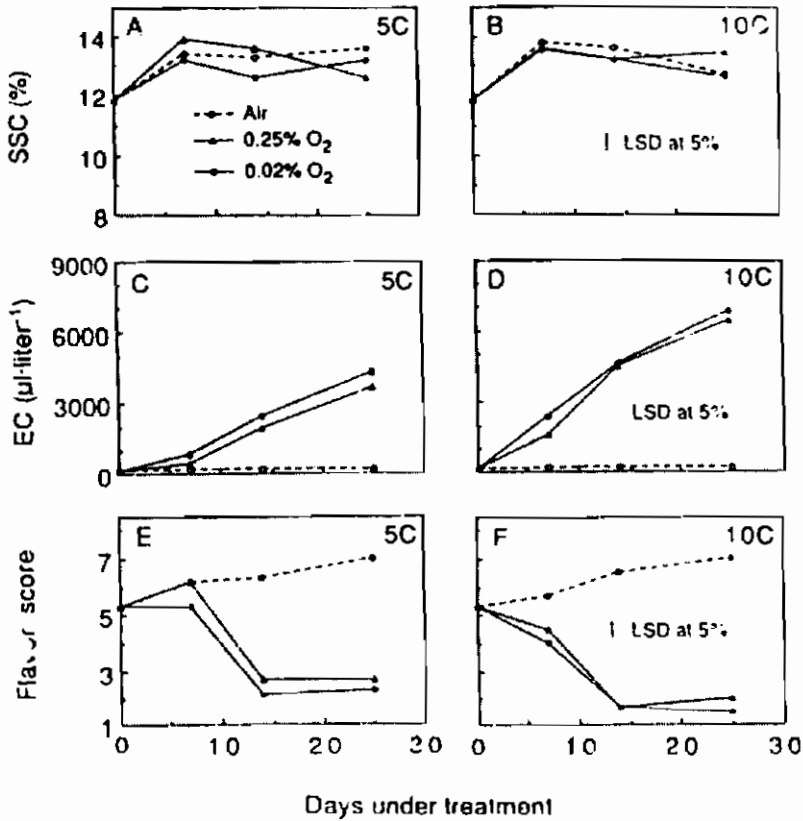


Fig. 2. Effects of O₂ level and temperature on soluble solids content (SSC), ethanol content (EC), and flavor score of 'Yellow Newtown' apples kept in air, 0.25% O₂, or 0.02% O₂ at 5 or 10C for 7, 14, or 25 days followed by holding in air at 5C for 7 days and then at 20C for 14 days. Flavor score was estimated using a scale of 1 to 7 (see legend of Fig. 1 for details).

يوضح الشكل كيفية تجميع عدة أشكال معا. يلاحظ أن ترتيبها من اليسار إلى اليمين ومن أعلى إلى أسفل، وأنها تتحد جميعها في المحور الأفقى (العامل المستقل)، بينما يتفق كل شكلين متجاورين منها في المحور الرأسى (العامل غير المستقل). يلاحظ كذلك عدم الإشارة إلى رموز مفاتيح الشكل والاكتفاء بتوجيه القارئ إليها في عنوان شكل آخر من نفس البحث تجنباً للتكرار.

مثال (٧-٢٦): عن دورية. J. Hort. Sci. Biotech.

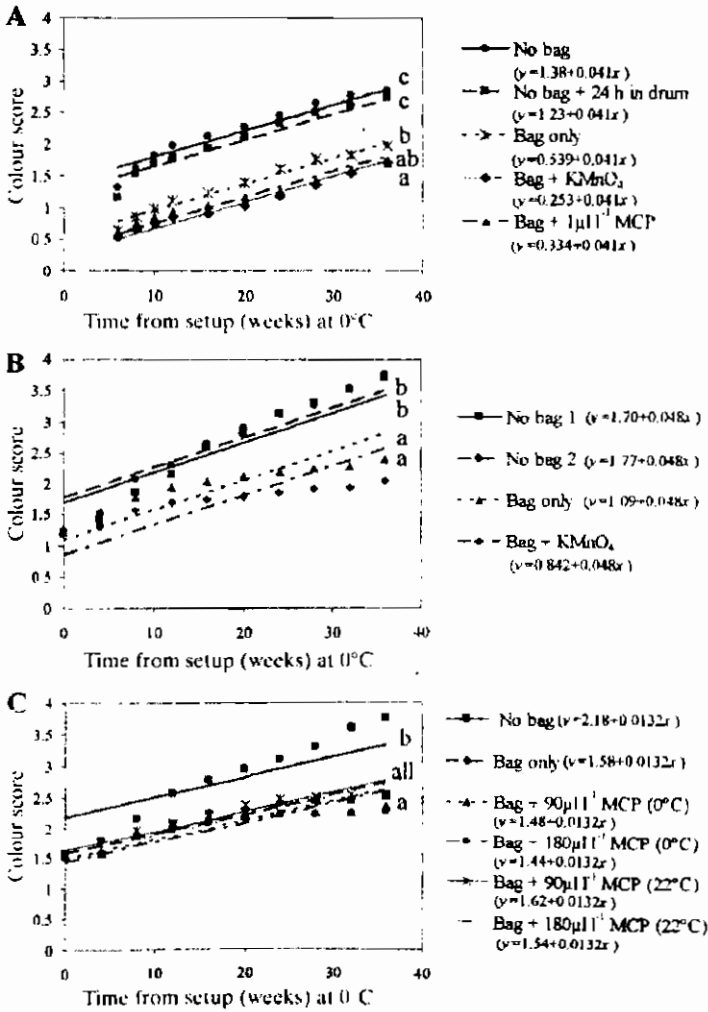


FIG. 3

Effect of polyethylene bags alone, with ethylene absorbent or 1-MCP on the colour scores of 'Nashi' held at 0°C over 36 weeks. Panel A, 'Nashi' stored in polyethylene bags with or without ethylene absorbent or 1-MCP; Panel B, 'Nashi' stored in polyethylene bags with or without ethylene absorbent; and Panel C, 'Nashi' stored in polyethylene bags with or without 1-MCP applied at 0°C or 22°C. Different letters indicate significant differences between regression equations calculated for each treatment in each experiment ($P < 0.05$).

يلاحظ شدة ازدحام الشكل، وتكرار عنوان المحور الأفقي دونما داع، ولكن الشكل - بهذا الوضع - يختصر عدد صفحات البحث.

مثال (٧-٢٧): عن دورية The Plant Cell

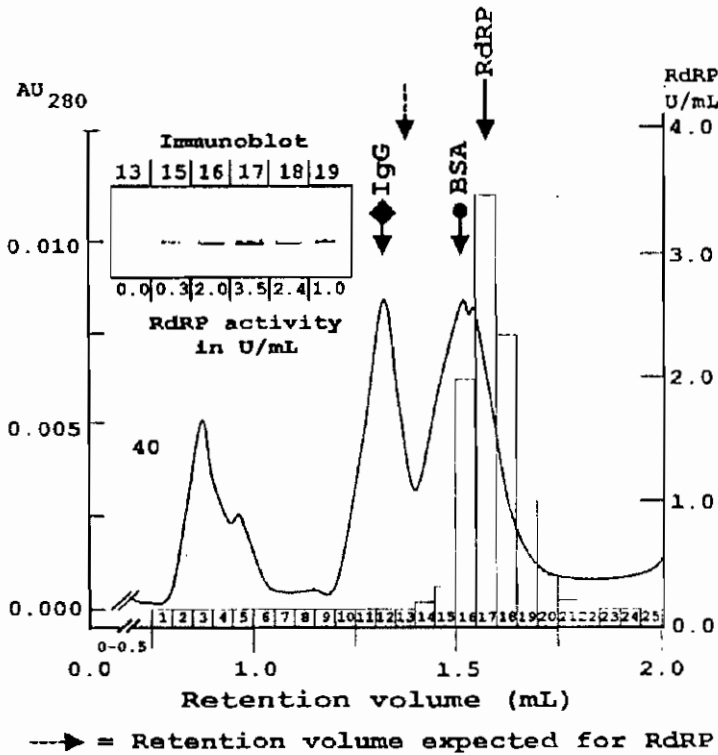


Figure 8. Delayed Coelution of T-RdRP from a Superdex 200 Column.

Eluate from the hydroxyapatite chromatography representing ~0.75 units of T-RdRP in 15 μ L of 0.16 M NaPi in buffer F was supplemented with 2 μ g each of rabbit IgG (Sigma) and BSA (Serva 11924) and loaded onto a precalibrated Superdex 200 column in the Smart system. The column was equilibrated at 5°C with a buffer of 0.15 M NaCl, 10 mM Tris-HCl, pH 8.0, and 1.5 mM DTT. Elution volumes were 1.35 mL for IgG, 1.505 mL for BSA, and 1.58 mL for RdRP. Fractions containing enzyme activity were subjected to protein gel blot analysis with the C-RdRP-specific antibody A_{P231}. The Immunoblot shows a single band of 127 kD and the maximum of staining intensity in fraction 17. Neither RdRP activity nor a 127-kD protein was detectable in fraction 13, in which a standard protein of this size should elute. AU, absorbance units; U, units.

يُعد الشكل لوحة فنية تجمع بين نتائج جهاز الكروماتوجرافي واختبارات المناعة. مع إضافات تمكن القارئ المتخصص من استيعاب الشكل دونما حاجة إلى الرجوع للمتن.

مثال (٧-٢٨): عن دورية British Poultry Science

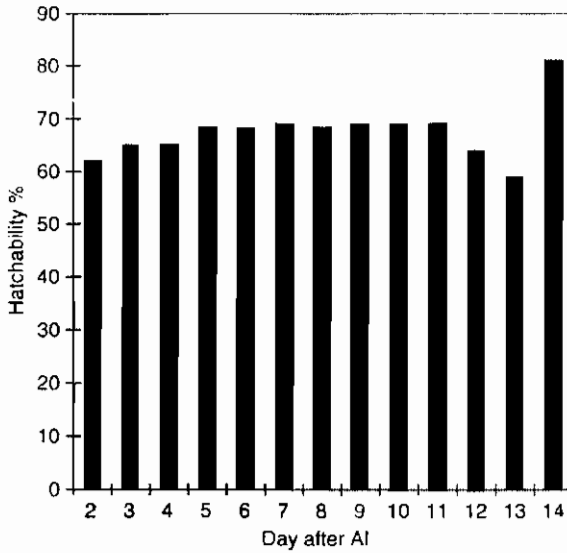


Figure 4. The duration of hatchability (H/F) from d 2 to 14 after single artificial insemination (AI) with pooled Muscovy semen in the Brown Tsaiya line S.

يمثل الشكل كيفية بيان النتائج في صورة بارات بسيطة.

مثال (٧-٢٩): عن دورية J. Amer. Soc. Hort. Sci.

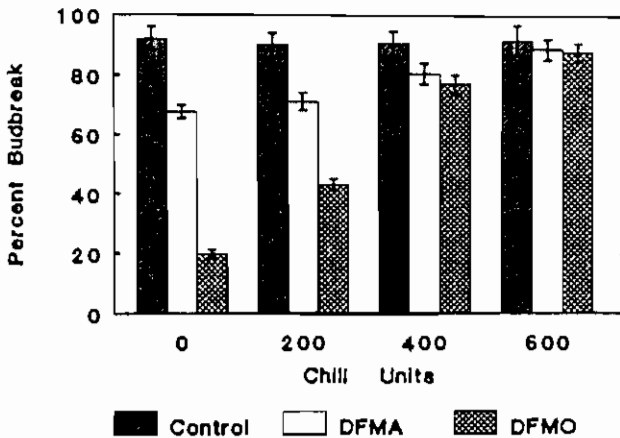


Fig.2. Effect of timing of polyamine inhibitor (DFMA or DFMO) treatment on bud break of apple flower buds. Ten nanomoles of DFMA or DFMO was applied after the buds received the indicated chilling units (CUs). Buds then resumed chilling up to 600 CUs. Control buds were injected with H₂O only.

تظهر بالشكل النتائج على صورة أعمدة (هستوجرامات)، مع وجود أكثر من قياس لكل عامل مستقل (تختلف في شكل أعمدتها)، وبيان الخطأ القياسي للمتوسطات على صورة خط رأسي في قمة كل عمود.

مثال (٧-٣٠): عن دورية. *Plant Physiol. Biochem.*

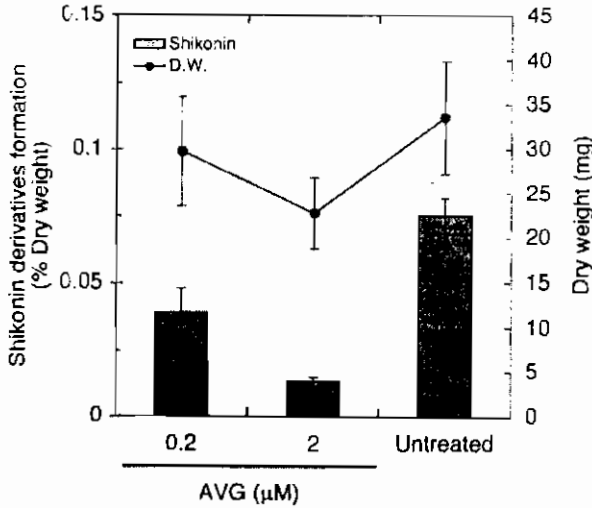


Fig. 5. Effects of AVG on shikonin production in shoot culture. Shoots were cultured on MS solid medium at 25 °C for 4 weeks in the dark. Error bar: S.D. ($n = 8$).

يجمع الشكل ما بين الأعمدة (البارات) والخط البياني، ولكن لقياسين مختلفين؛ يتبين من الشكل وجود علاقة قوية بينهما.

مثال (٧-٣١): عن دورية J. Amer. Soc. Hort. Sci.

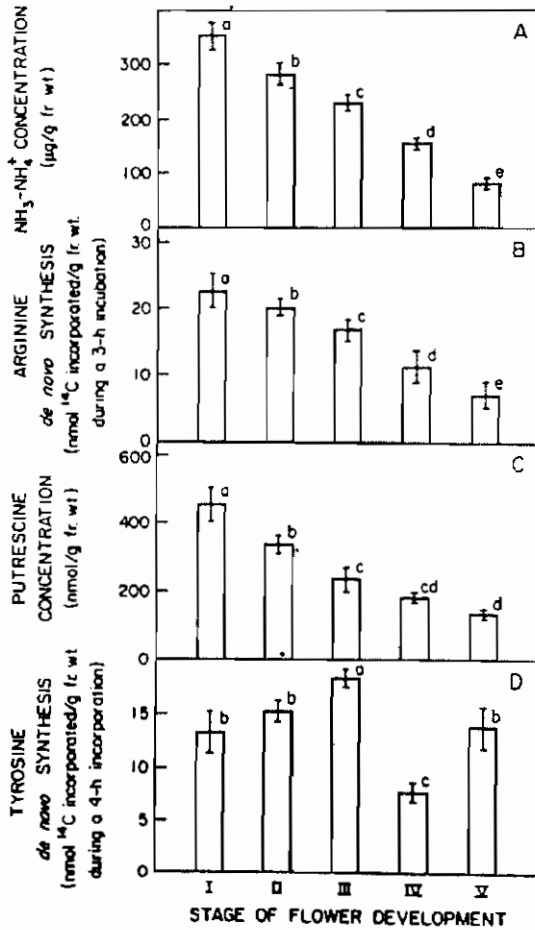
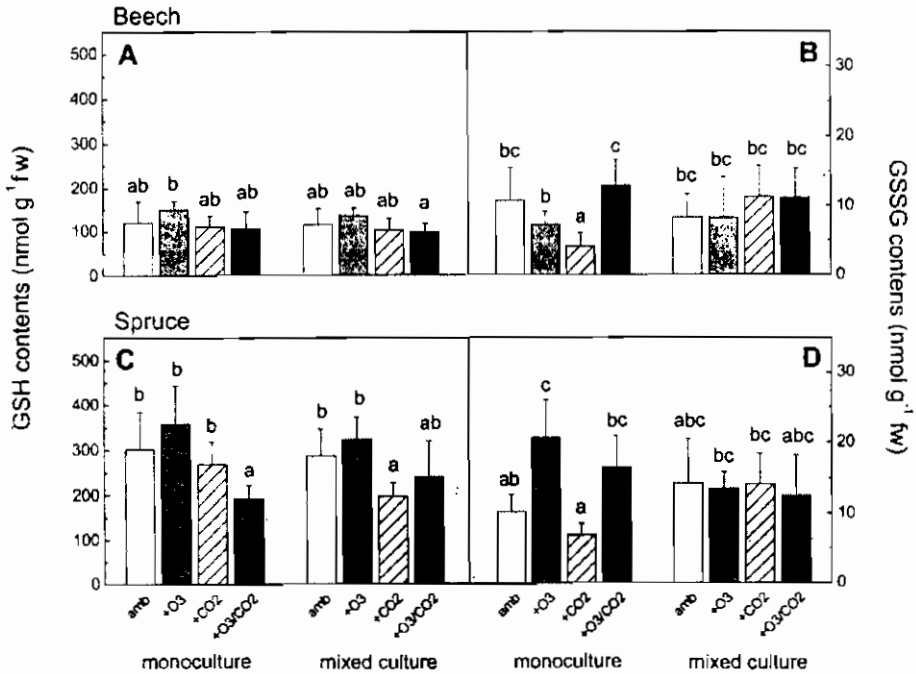


Fig. 2. Changes in NH₃-NH₄⁺ concentration (A), activity of the de novo arginine biosynthetic pathway (B), putrescine concentration (C), and activity of the de novo tyrosine biosynthetic pathway (D) in developing flowers of the 'Washington' navel orange. Data are the mean ± SD of four replicates from two separate experiments inducing flowering by low-temperature stress. Mean separation was by Duncan's multiple range test, *P* < 0.05.

تظهر بالشكل النتائج على صورة هستوجرامات، مع جمع نتائج أربعة قياسات في شكل واحد يشترك في محور أفقي (عامل مستقل) واحد، وبيان الانحراف القياسي (وليس الخطأ القياسي) للمتوسطات في صورة خط رأسي في قمة كل عمود، والحروف الدالة على جوهرية الاختلافات - حسب اختبار دنكن - على الأعمدة ذاتها.

مثال (٧-٣٢): عن دورية. *Plant Physiol. Biochem.*



يظهر بالشكل ٢٤ قياساً موزعة على صفتين (يسار ويمين)، وعلى مجموعتين (أعلى وأسفل) وعلى معاملتين (كل مجموعة من أربعة هستوجرامات معاً)، كما يظهر بالشكل لانحراف القياسي لكل قياس (في صورة خط رأسي)، وجوهية الاختلافات بين لقياسات (في صورة حروف أبجدية).

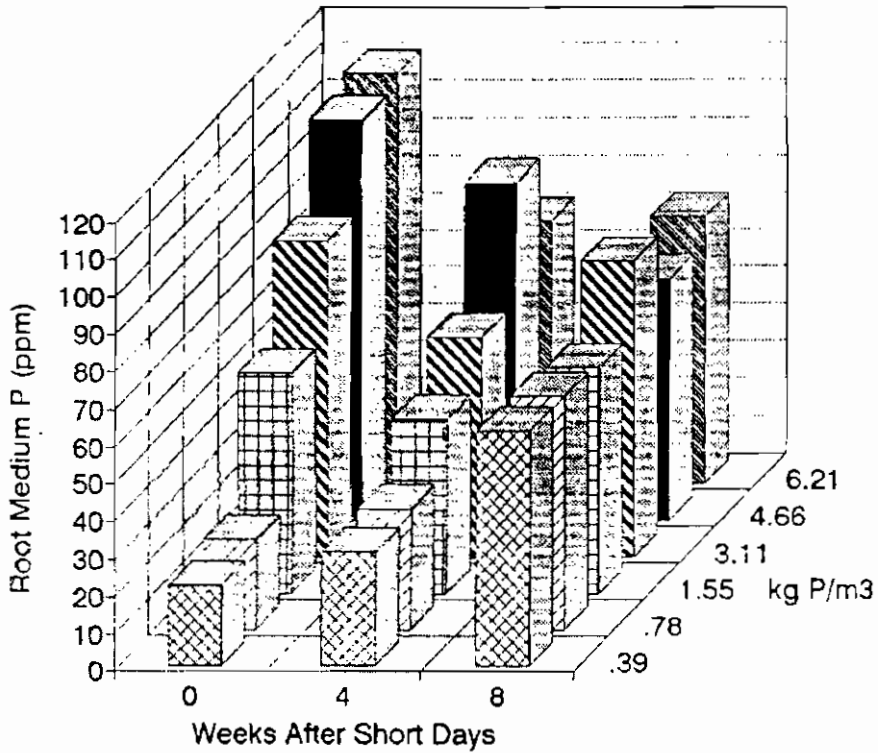
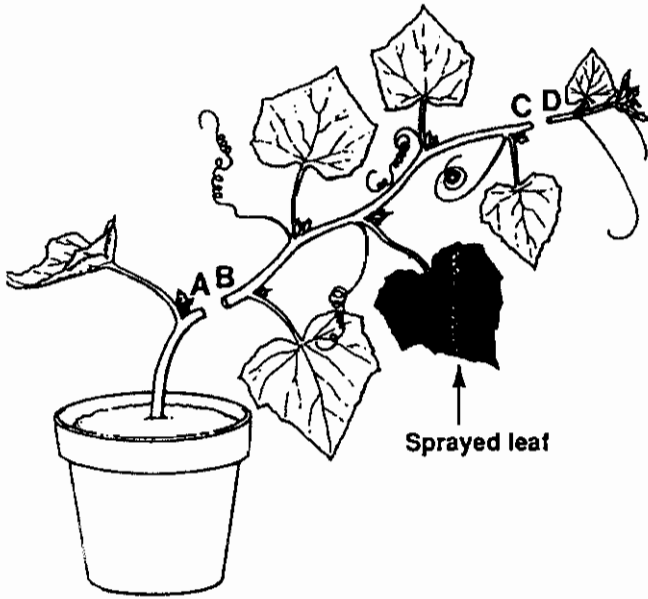


Fig. 1. Root medium P concentrations averaged over time for 'Celebrate 2' and 'Supjibi' poinsettias at various P rates, applied as triple superphosphate.

شكل مجسم تظهر فيه نتائج قياس واحد أخذ على فترات لعدة معاملات من العامل المستقل.

مثال (٧-٣٤): عن دورية Plant Physiology.



Ion	Treatment	Position			
		A	B	C	D
		<i>mm</i>			
Ca ²⁺	H ₂ O	2.59	1.13	0.70	0.65
	ι(+)	5.21 ^b	0.84	1.13 ^a	1.11 ^a
Mg ²⁺	H ₂ O	3.96	3.56	2.75	2.30
	ι(+)	5.50 ^b	3.15	3.28 ^b	2.92 ^b
K ⁺	H ₂ O	50.0	88.1	80.7	59.4
	ι(+)	64.5 ^b	80.9	79.5	72.8

^{a, b} F value for comparison of ι(+)-adenosine with H₂O control significant at P ≤ 0.05 and 0.01, respectively.

Figure 4. Exudate (10 μL from each of two plants) from the excised stems of 31-d-old cucumber seedlings after a single central leaf was sprayed with H₂O or 100 μg L⁻¹ of ι(+)-adenosine; plants were excised at basal and apical ends within 5 s. The F value for interaction of position on the stem and control versus ι(+)-adenosine is significant at P ≤ 0.01 and ≤ 0.05 for Ca²⁺ and K⁺, respectively. Each observation is the mean of six single plant replicates. ι(+), ι(+)-Adenosine.

يجمع الشكل بين الجدول والرسم الفني لتوضيح نتائج الدراسة بأفضل طريقة ممكنة. مع شرح كامل للمعاملات ضمن عنوان الشكل.

مثال (٧-٣٥): عن دورية Plant and Soil.

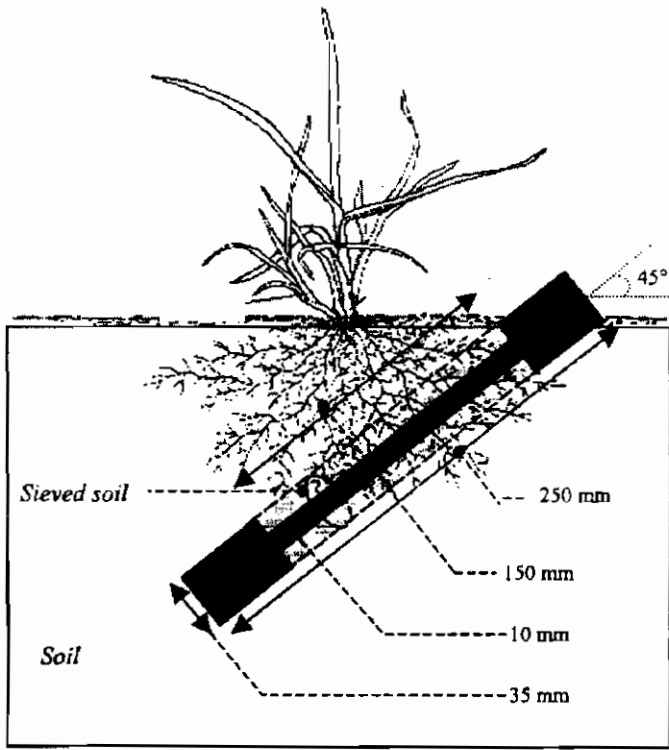


Figure 1. Schematic showing the design and dimensions of the root ingrowth cores.

رسم فني يهدف لتوضيح المعنى المراد بصورة سهلة ومبسطة يصعب شرحها كلامياً ويستحيل تصويرها فوتوغرافياً.

مثال (٧-٣٦): عن دورية .J. Hort. Sci. Biotech.

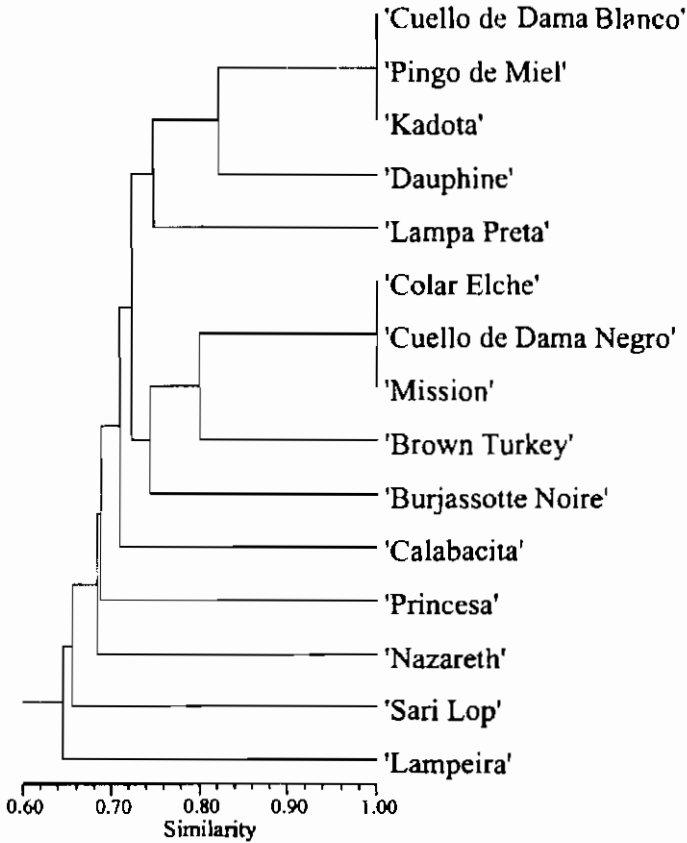


FIG. 1

Dendrogram of the 15 selected fig cultivars studied based on UPGMA analysis using the similarity matrix generated by the Nei and Li (1979) coefficient after amplification with 26 pairs of SSR primers.

رسم انسيابي flow diagram يعرف باسم dendrogram.

مثال (٧-٣٧): عن دورية. J. Hort. Sci. Biotech.

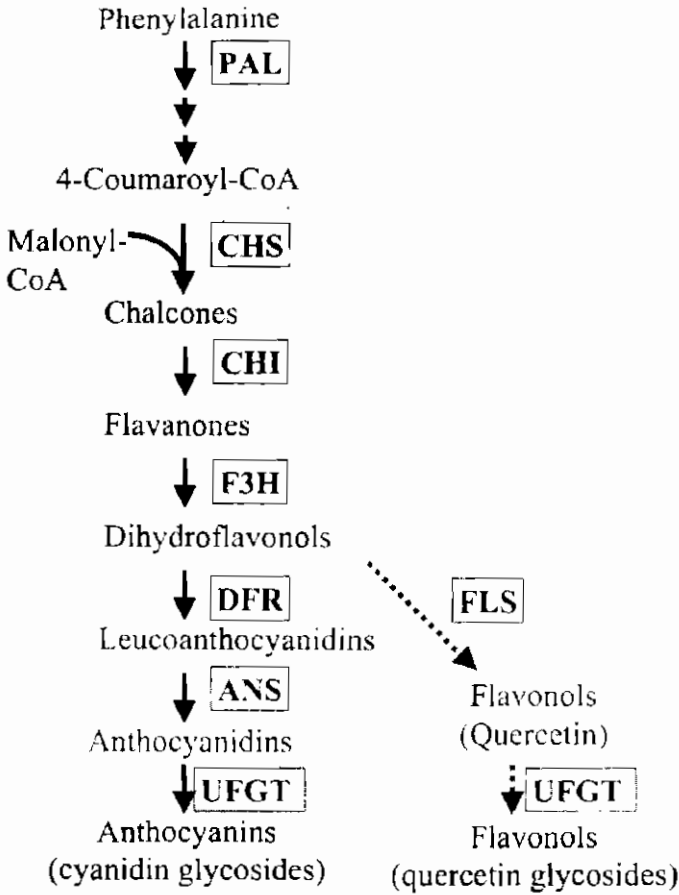


FIG. 1

Schematic representation of the anthocyanin biosynthetic pathway in apple. The various product families and the genes involved in their biosynthesis are indicated. An alternative pathway that generates flavonols (quercetin glycosides) instead of anthocyanidins is indicated by dashed arrows. PAL: phenylalanine ammonia-lyase. CHS: chalcone synthase. CHI: chalcone isomerase. F3H: flavanone-3-hydroxylase. DFR: dihydroflavonol-4-reductase. ANS: anthocyanidin synthase. UFGT: UDP-glucose:flavonoid-3-O-glycosyl transferase. FLS: flavonol

رسم انسيابي flow diagram لمسارات تمثيل الأنثوسيانين.